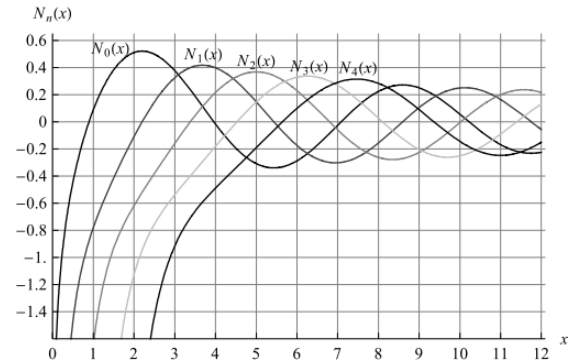
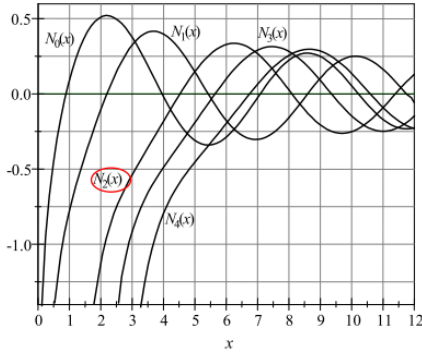
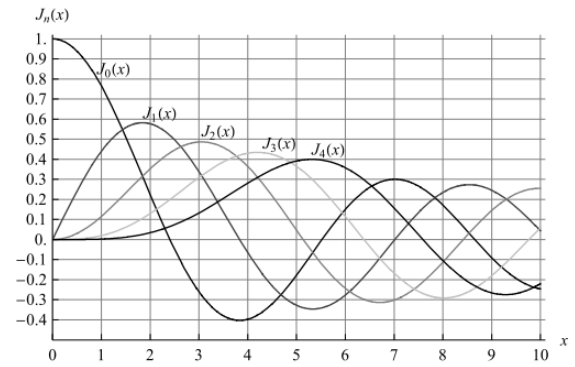
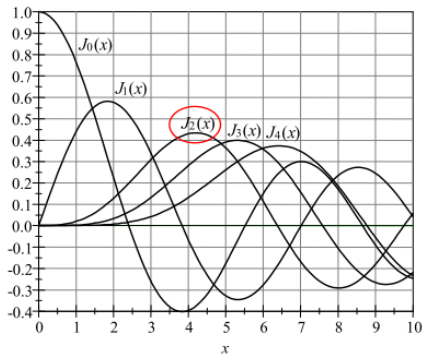


Страна, ред	Погрешно	Исправно
10, последњи ред	WAN (Wireless Area Network)	WLAN (Wireless Local Area Network)
14, (2.2)	$\text{rot } \mathbf{H} = \mathbf{J} + j\omega\epsilon\mathbf{E}$	$\text{rot } \mathbf{H} = j\omega\epsilon\mathbf{E}$
15, испод (2.6)	једначине (2.4)	једначине (2.3)
17, (2.28)	$(\gamma^2 + k^2)\mathbf{H}_t = -\gamma\nabla_t H_z + j\omega\epsilon\mathbf{i}_z \times \nabla_t E_z$	$(\gamma^2 + k^2)\mathbf{H}_t = -\gamma\nabla_t H_z - j\omega\epsilon\mathbf{i}_z \times \nabla_t E_z$
22, (2.58)	$c_\phi = \frac{c_0}{\sqrt{\epsilon_0\mu_0} \sqrt{1 - \left(\frac{f_c}{f}\right)^2}}$	$c_\phi = \frac{c_0}{\sqrt{\epsilon_r\mu_r} \sqrt{1 - \left(\frac{f_c}{f}\right)^2}}$
22, (2.59)	$\lambda_g = \frac{\lambda_0}{\sqrt{\epsilon_0\mu_0} \sqrt{1 - \left(\frac{f_c}{f}\right)^2}}$	$\lambda_g = \frac{\lambda_0}{\sqrt{\epsilon_r\mu_r} \sqrt{1 - \left(\frac{f_c}{f}\right)^2}}$
22, (2.63)	$a(t, z) = A_m \left( \cos\left(\Omega t - z \frac{d\beta}{d\omega}\right) \cos(\omega t - \beta_\omega z) \right)$	$a(t, z) = A_m \left( \cos\left(\Omega t - \Omega z \frac{d\beta}{d\omega}\right) \cos(\omega t - \beta_\omega z) \right)$
24, (2.71)	$Z_{TE} = Z_{TEM} \sqrt{1 - \left(\frac{f_c}{f}\right)^2}$	$Z_{TM} = Z_{TEM} \sqrt{1 - \left(\frac{f_c}{f}\right)^2}$
25, (2.79)	$\alpha = \alpha_p + \alpha_d = \frac{P'_p}{2P} + \frac{P'_d}{2P}$	$\alpha = \alpha_p + \alpha_d = \frac{P'_p}{2P_t} + \frac{P'_d}{2P_t}$
27, (2.91)	$\gamma = \sqrt{-\omega^2\epsilon_e\mu + K^2} = \sqrt{-\omega^2\epsilon'\mu + j\omega^2\mu\sigma_e + K^2}$	$\gamma = \sqrt{-\omega^2\epsilon_e\mu + K^2} = \sqrt{-\omega^2\epsilon'\mu + j\omega\mu\sigma_e + K^2}$
29, (2.104)	$E_{z0} \approx j\beta d \left( \frac{\epsilon_1}{\epsilon_2} - 1 \right) E_{y1}$	$E_{z0} \approx \frac{j\beta d}{2} \left( \frac{\epsilon_1}{\epsilon_2} - 1 \right) E_{y1}$
33, испод (3.6)	где је $Q'$ подужна капацитивност	где је $C'$ подужна капацитивност
36, изнад (3.20)	$(j\omega R' \Delta z I_2)$	$(R' \Delta z I_2)$
36, испод (3.20)	$j\omega C' \Delta z U_2$	$j\omega C' \Delta z U_1$
36, изнад (3.21)	$G' \Delta z U_2$	$G' \Delta z U_1$
53, слика 3.14	$g_1 = g_2 = \text{const}$	$r_1 = r_2 = \text{const}$
57, (3.73)	$Y_p = -jY_{cp} \cot(\beta_p l)$	$Y_p = -jY_{cp} \cot(\beta_p l)$
57, (3.74)	$Y_p = jY_{cp} \tan(\beta_p l)$	$Y_p = jY_{cp} \tan(\beta_p l)$
63, пасус 4, ред 4	из израза (3.79) добија се	из израза (3.82) добија се
84, (4.26)	$\frac{\partial w_e}{\partial t} = \frac{1}{\pi} \ln\left(\frac{2h}{t}\right), \quad w < \frac{h}{2\pi},$ $\frac{\partial w_e}{\partial t} = \frac{1}{\pi} \ln\left(\frac{4\pi w}{t}\right), \quad w \geq \frac{h}{2\pi},$	$\frac{\partial w_e}{\partial t} = \frac{1}{\pi} \ln\left(\frac{2h}{t}\right), \quad w > \frac{h}{2\pi},$ $\frac{\partial w_e}{\partial t} = \frac{1}{\pi} \ln\left(\frac{4\pi w}{t}\right), \quad w \leq \frac{h}{2\pi},$
87, (4.38)	$\frac{\sqrt{2}}{2} < u < 1$	$0 < u \leq \frac{\sqrt{2}}{2}$

87, (4.39)	6,72	6,27
99, (5.10)	$\frac{\partial H_z}{\partial y} = 0$ за $x = 0$ и $x = a$ , $\frac{\partial H_z}{\partial x} = 0$ за $y = 0$ и $y = b$ .	$\frac{\partial H_z}{\partial x} = 0$ за $x = 0$ и $x = a$ , $\frac{\partial H_z}{\partial y} = 0$ за $y = 0$ и $y = b$ .
101, (5.31)	$K^2 = \left(\frac{m}{a}\right)^2 + \left(\frac{n}{b}\right)^2$	$K^2 = \left(\frac{m\pi}{a}\right)^2 + \left(\frac{n\pi}{b}\right)^2$
101, (5.32)	$\beta = \sqrt{\omega^2 \varepsilon \mu - \left(\frac{m}{a}\right)^2 - \left(\frac{n}{b}\right)^2}$	$\beta = \sqrt{\omega^2 \varepsilon \mu - \left(\frac{m\pi}{a}\right)^2 - \left(\frac{n\pi}{b}\right)^2}$
104, (5.50)	$H_y(x, y, z) = \frac{j\omega\varepsilon}{K^2} E_0 \frac{m\pi}{a} \cos \frac{m\pi x}{a} \sin \frac{n\pi y}{b} \exp(-j\beta z)$	$H_y(x, y, z) = -\frac{j\omega\varepsilon}{K^2} E_0 \frac{m\pi}{a} \cos \frac{m\pi x}{a} \sin \frac{n\pi y}{b} \exp(-j\beta z)$
107, ред 3	поља инцидентног	поља рефлектованог
107, (5.63-6)	индекс "с"	индекс "р"
114, слика 5.10		слике (а) и (б) треба да замене места
118, изнад слике 5.16.	Последњи део пасуса изнад слике 5.16 требало би да гласи: "Претпоставимо да се код ових спојева побуђује доминантни тип таласа на приступу 2, а да су друга два приступа прилагођена. Због симетрије, таласи на приступима 1 и 3 биће истих интензитета. У симетрично постављеним референтним равнима на овим приступима, код ЕТ-споја поља таласа ће бити у противфази, а код НТ-споја поља ће бити у фази."	
127, (6.14)	$\frac{r^2}{R^2} \frac{d^2 R}{dr^2} + \frac{r}{R} \frac{dR}{dr} + \frac{1}{\Phi} \frac{d^2 \Phi}{d\phi^2} + r^2 K^2 = 0$	$\frac{r^2}{R} \frac{d^2 R}{dr^2} + \frac{r}{R} \frac{dR}{dr} + \frac{1}{\Phi} \frac{d^2 \Phi}{d\phi^2} + r^2 K^2 = 0$
127, испод (6.11)	На основу једначина (6.3) и	На основу једначина (6.4) и
127, испод (6.12)	једначине (6.6) заједно са	једначине (6.7) заједно са
127, испод (6.12)	из једначина (6.3) и (6.4).	из једначина (6.4) и (6.5).
127, испод (6.12)	таласну једначину (6.6) ћемо	таласну једначину (6.7) ћемо
127, испод (6.13)	у једначину (6.5), и заменом једначине (6.5) у (6.6)	у једначину (6.6), и заменом једначине (6.6) у (6.7)



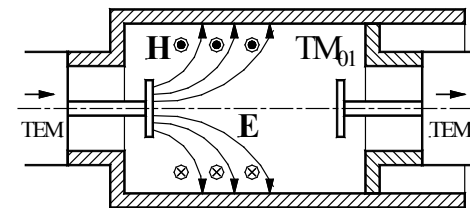
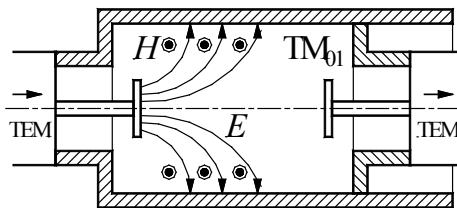
129. слика 6.2

130, (6.26)-(6.30)  $(K_{TE_{mn}r})$

$(K_{TE_{nm}r})$

132, (6.40)-(6.44)  $(K_{TM_{mn}r})$

$(K_{TM_{nm}r})$



138, слика 6.96

143, ред 2 од краја одредити структуру поља

одредићемо структуру поља

156, испод (8.14) према једначини (3.47)

према једначини (3.50)

158, изнад (8.23) интензитети означени са  $b_1, b_2, \dots, b_N$ .

интензитети означени са  $b_2, \dots, b_N$ .

161, (8.31) 
$$\sum_{k=1}^N |s_{jk}|^2 \leq 1$$

$$\sum_{k=1}^N |s_{kj}|^2 \leq 1$$

169, пасус 3 од краја стране

бити  $|s_{13}| = 0$ .

бити  $|s_{13}| = 1$ .

179, последњи пасус

$$u_0(t) = U_m \cos(\omega t + \theta)$$

$$u_0(t) = U_m \cos(\omega_0 t + \theta)$$

191, (9.50)

$$\det \begin{bmatrix} -\gamma^2 - \omega^2 \epsilon \mu_0 \mu_r & -j\omega^2 \epsilon \mu_0 \kappa & 0 \\ j\omega^2 \epsilon \mu_0 \kappa & -\gamma^2 \cos^2 \theta - \omega^2 \epsilon \mu_0 \mu_r & \gamma^2 \sin \theta \cos \theta \\ 0 & \gamma^2 \sin \theta \cos \theta & -\gamma^2 \sin^2 \theta - \omega^2 \epsilon \mu_0 \end{bmatrix} = 0$$

213, 10 W при 5 GHz, или 0,2 W

10 mW при 5 GHz, или 0,2 mW

243, 10. ред одоздо 10 kW при 3 GHz и 100 kW при 30 GHz

100 kW при 3 GHz и 10 kW при 30 GHz

250, (12.12) 
$$V^- = \frac{1}{4\pi\epsilon_0} Q \frac{e^{-j\beta r^-}}{r^-}$$

$$V^- = -\frac{1}{4\pi\epsilon_0} Q \frac{e^{-j\beta r^-}}{r^-}$$

250, (12.14) 
$$V = \frac{1}{4\pi\epsilon_0} Q \frac{(1 + j\beta r) e^{-j\beta r}}{r^2} Q d \cos \theta$$

$$V = \frac{1}{4\pi\epsilon_0} \frac{(1 + j\beta r) e^{-j\beta r}}{r^2} Q d \cos \theta$$

266, испод (12.58) сличан ономе на слици 12.6а,г,  
266, ред 8  $\mathbf{h} \approx l \mathbf{i}_z$

сличан ономе на слици 12.6а и 12.6г  
 $\mathbf{l}_{\text{eff}} \approx l \mathbf{i}_z$